

ИЗВЕСТИЯ  
ТОМСКОГО ОРДЕНА ОКТЯБРЬСКОЙ РЕВОЛЮЦИИ  
И ОРДЕНА ТРУДОВОГО КРАСНОГО ЗНАМЕНИЯ  
ПОЛИТЕХНИЧЕСКОГО ИНСТИТУТА ИМ. С. М. КИРОВА

Том 277

1977

## РАСЧЕТ НАПРЯЖЕНИЙ ПРИ ХОЛОДНОМ ПРЯМОМ ВЫДАВЛИВАНИИ С ПРИМЕНЕНИЕМ ЭВМ «БЭСМ-4»

Г. Л. КАЛИНИЧЕНКО, Д. П. СНЕГИРЕВ

(Представлена научным семинаром кафедры инженерной и вычислительной математики)

Самые различные обстоятельства требуют от машиностроения создания надежных, производительных машин с наименьшими экономическими затратами. Холодное выдавливание металлов при рациональном применении позволяет значительно снизить трудоемкость изготовления и стоимость изделий.

В процессе холодного выдавливания в результате упрочнения металла, особенно поверхностных его слоев и наличия текстуры, повторяющей контуры изделий, наблюдается повышение износостойкости и усталостной прочности деталей. Предварительные исследования показали повышение прочности при знакопеременных нагрузках на 20—50% [1].

Для рационального построения технологических операций холодного выдавливания упрочняющихся металлов важно знать распределение напряжений, зависящих от многих параметров процесса: свойств материала, угла раствора матрицы, скорости деформирования, смазки, степени обжатия  $\psi$  и т. д.

$$\psi = \frac{D^2 - d^2}{D^2} \cdot 100\%,$$

здесь  $D$  — диаметр сечения контейнера,

$d$  — диаметр калибрующегося сечения матрицы.

Напряжения определяли экспериментально-расчетным методом, заключающимся в сочетании методов измерения твердости деформированного металла и делительных сеток [2]. Расчет выполняли на ЭВМ «БЭСМ-4».

Образцы для выдавливания изготавливали высотой  $H \approx 1,6D$ , из двух симметричных половин, разделенных по меридиональной плоскости. Меридиональные поверхности этих образцов доводили до 9 или 10 класса чистоты. На обработанной поверхности одной из половин составного образца наносили алмазным наконечником нормальную сетку с базой 1—2 мм. Базу сетки выбирали с учетом величины обжатия и угла раствора матрицы.

Составные образцы выдавливали со смазкой в специальном контейнере на 500-тонном гидравлическом прессе. В установившейся стадии выдавливания при постоянном усилии деформирования процесс

прекращали, образец извлекали из контейнера и разделяли на две половины.

Меридиональную поверхность одной половины выдавленного образца готовили для измерения твердости по Виккерсу, с другой половины снимали увеличенную в 10 раз на проекторе деформированную сетку. Затем на увеличенную деформированную область наносили нормальную сетку с постоянным шагом. Величину шага выбирали таким образом, чтобы на радиус контейнера вписывалось целое число шагов, а число узлов нормальной сетки было не менее 10. В дальнейшем расчет приращений деформаций и напряжений проводили по узлам наложенной сетки.

Если в установившейся стадии пластического деформирования некоторое семейство линий в недеформированном металле ориентировано вдоль оси выдавливания, то эти линии, деформируясь, преобразуются в траектории расположенных на них частиц относительно стенок контейнера и матрицы.

Модуль скорости этих частиц можно определить по предварительно нанесенным отметкам, а вектор скорости частиц направлен по касательной к их траектории.

Если на линии, ориентированной вдоль оси выдавливания, настнести через равные промежутки  $a_0$  отметки, то в своем движении относительно инструмента точка 1 занимает положение точки 2, точка 2 — положение точки 3 и т. д. (рис. 1) за один и тот же промежуток времени.

$$\Delta t = \frac{a_0}{v_0} \quad (1)$$

Относительная скорость перемещения частиц

$$v = \frac{a}{\Delta t} = v_0 \frac{a}{a_0}, \quad (2)$$

где  $a$  — расстояние между отметками после деформирования.

Составляющие этих скоростей в цилиндрической системе координат

$$v_r = v \cdot \cos \alpha, \quad v_z = v \cdot \sin \alpha, \quad (3)$$

где  $\alpha$  — угол наклона касательной к траектории частицы, отсчитываемый от координаты  $r$  в положительном направлении.

Значения приращений деформаций определяли по искажению нормальной сетки, выставленной так, что одно семейство линий ориентировано вдоль оси выдавливания.

При осесимметричной деформации компоненты тензора деформации равны

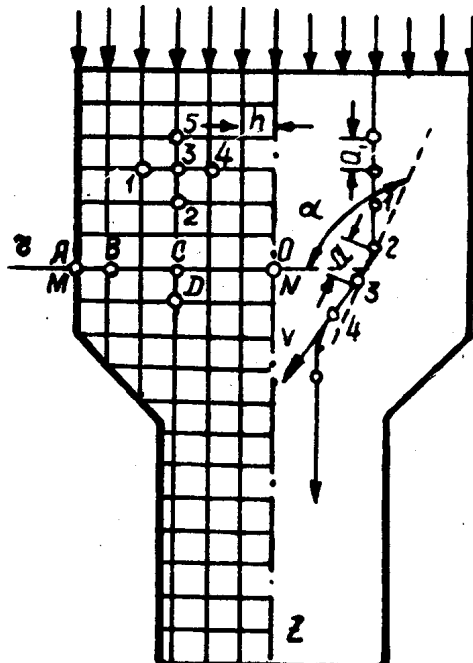


Рис. 1. Схема осесимметричного выдавливания для расчета приращений деформаций.

$$\left. \begin{aligned} \dot{\varepsilon}_r &= \frac{\partial v_r}{\partial r} = \frac{v_0}{a_0} \left( \frac{\partial a}{\partial r} \cos \alpha - a \cdot \sin \alpha \frac{\partial \alpha}{\partial r} \right), \\ \dot{\varepsilon}_z &= \frac{\partial v_z}{\partial z} = \frac{v_0}{a_0} \left( \frac{\partial a}{\partial z} \cdot \sin \alpha + a \cdot \cos \alpha \frac{\partial \alpha}{\partial z} \right), \\ \dot{\gamma}_{rz} &= \frac{\partial v_r}{\partial z} + \frac{\partial v_z}{\partial r} = \frac{v_0}{a_0} \left[ \cos \alpha \left( \frac{\partial a}{\partial z} + a \frac{\partial \alpha}{\partial r} \right) + \right. \\ &\quad \left. + \sin \alpha \left( \frac{\partial a}{\partial r} - a \frac{\partial \alpha}{\partial z} \right) \right], \\ \dot{\varepsilon}_\varphi &= \frac{v}{r} \cos \alpha = \frac{v_0}{a_0} \cdot \frac{a}{r} \cos \alpha. \end{aligned} \right\} \quad (4)$$

Учитывая, что в дальнейшем постоянный множитель в соотношениях (4) сокращается, далее определяли приращения деформаций:

$$\Delta \varepsilon_{ij} = \dot{\varepsilon}_{ij} \cdot \Delta t. \quad (5)$$

Производные определяли по соотношениям [3]:

а) производные на оси

$$\left( \frac{\partial a}{\partial r} \right)_0 = \frac{-3a_0 + 4a_1 - a_2}{2 \cdot h}, \quad \left( \frac{\partial \alpha}{\partial r} \right)_0 = \frac{-3\alpha_0 + 4\alpha_1 - \alpha_2}{2 \cdot h};$$

б) производные на границе

$$\left( \frac{\partial a}{\partial r} \right)_n = \frac{a_{n-2} - 4a_{n-1} + 3a_n}{2 \cdot h}, \quad \left( \frac{\partial \alpha}{\partial r} \right)_n = \frac{\alpha_{n-2} - 4\alpha_{n-1} + 3\alpha_n}{2 \cdot h};$$

в) промежуточные производные

$$\left( \frac{\partial a}{\partial r} \right)_3 = \frac{a_1 - a_4}{2 \cdot h}, \quad \left( \frac{\partial \alpha}{\partial r} \right)_3 = \frac{\alpha_1 - \alpha_4}{2 \cdot h}, \quad (6)$$

где  $h$  — база расчетной сетки.

По подобным соотношениям определяли производные в направлении координаты  $z$ .

Приращение интенсивности деформаций

$$\Delta \varepsilon_i = \frac{2}{\sqrt{3}} \sqrt{\Delta \varepsilon_r^2 + \Delta \varepsilon_z^2 + \Delta \varepsilon_r \cdot \Delta \varepsilon_z + \frac{\Delta \gamma_{rz}^2}{4}}. \quad (7)$$

Компоненты девиатора напряжений вычисляли по соотношениям:

$$\begin{aligned} S_r &= \sigma_r - \sigma = \frac{2}{3} \frac{\sigma_i}{\Delta \varepsilon_i} \Delta \varepsilon_r, \quad S_z = \sigma_z - \sigma = \frac{2}{3} \frac{\sigma_i}{\Delta \varepsilon_i} \Delta \varepsilon_z, \\ S_\varphi &= \sigma_\varphi - \sigma = \frac{2}{3} \frac{\sigma_i}{\Delta \varepsilon_i} \Delta \varepsilon_\varphi, \quad \tau_{rz} = \frac{1}{3} \frac{\sigma_i}{\Delta \varepsilon_i} \Delta \gamma_{rz}, \end{aligned}$$

здесь  $\sigma$  — гидростатическое давление.

Для определения в узлах расчетной сетки характеристики  $a$  строили изолинии  $a$ . Значения  $a$  определяли непосредственным измерением: без

построения изолиний. Интенсивность напряжений  $\sigma_i$  в пластической области определяли по распределению твердости из тарировочной кривой, построенной по результатам испытания материала на сжатие со смазкой.

Исходные данные  $a$ ,  $\alpha$  и  $\sigma_i$  задаются тремя массивами построчно. Разделение строк осуществляется пустой ячейкой, массивов — двумя пустыми ячейками. Указанный способ ввода исходных данных позволяет одним блоком программы установить границы, т. е. определить число узлов расчетной сетки в направлении координаты  $r$  и координаты  $z$ .

В программе предусмотрена стандартная подпрограмма вычисления производных функций, заданных таблично. Достаточно переслать значение какой-либо строки или столбца в рабочее поле стандартной подпрограммы и, обратившись к последней, вычисляются производные по координате  $r$  или  $z$ . Так определяются в массиве производные:

$$\frac{da}{dr}; \frac{da}{dz}; \frac{d\alpha}{dr}; \frac{d\alpha}{dz}.$$

Далее вычисляются два массива  $\sin \alpha$  и  $\cos \alpha$  и определяются приращения деформации —  $\Delta \varepsilon_r$ ;  $\Delta \varepsilon_z$ ;  $\Delta \varepsilon_\varphi$ ;  $\Delta \gamma_{rz}$  и  $\Delta \varepsilon_i$ , затем компоненты девиатора напряжений —  $s_r$ ;  $s_z$ ;  $s_\varphi$ ;  $\tau_{rz}$ .

Во второй части программы вычисляются напряжения. Определив из условия равновесия [2] граничное напряжение в контакте заготовки с матрицей, машина вычисляет все напряжения в узлах расчетной сетки на этом радиусе. Полученные напряжения на радиусе используются в качестве граничных условий. Это позволяет вычислить напряжения во всем массиве.

На печать машина выдает следующую информацию:

- 1) все исходные данные, вводимые для расчета: усилие выдавливания  $P$  в кг; шаг расчетной сетки —  $h$ ;  $a$ ;  $\alpha$ ;  $\sigma_i$ ;  $\varepsilon_i$ ;
- 2) приращение деформаций —  $\Delta \varepsilon_r$ ;  $\Delta \varepsilon_z$ ;  $\Delta \varepsilon_\varphi$ ;  $\Delta \gamma_{rz}$ ;  $\ddot{s}$ ;  $\Delta \varepsilon_i$ ;
- 3) компоненты девиатора напряжений —  $s_r$ ;  $s_z$ ;  $s_\varphi$ ;
- 4) напряжения —  $\sigma_1$ ;  $\sigma_3$ ;  $\sigma$ ;  $\sigma_r$ ;  $\sigma_z$ ;  $\sigma_\varphi$ ;  $\tau_{rz}$ .

Имея всю вводимую информацию, промежуточные и окончательные результаты, можно проверить правильность выполненных машиной вычислений.

## ЛИТЕРАТУРА

1. В. А. Мишунин, Л. М. Решетникова и др. Качество и точность деталей при холодном выдавливании. «Кузнечно-штамповочное производство», 1971, № 9.
2. Г. Д. Дель, В. А. Огородников. Экспериментально-аналитическое исследование напряженного состояния при осесимметричном прессовании упрочняющегося металла. Изв. вузов, «Машиностроение», 1969, № 2.
3. Б. П. Демидович, И. А. Марон. Основы вычислительной математики. М., 1963.